

長崎大学工学部 正員・高橋和雄
長崎大学工学部 学生員 安井清秀

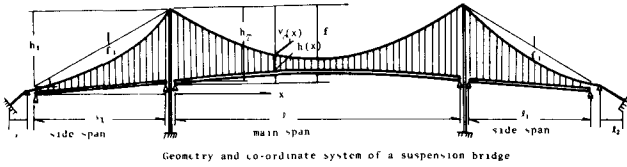
1 緒言 吊橋の振動特性は他の橋梁構造と比較して直接安全性と連なるものであるために、その解析はさわめて重要な意味を持つ。この第一段階として吊橋の固有振動性状を把握しておく必要がある。これまでの吊橋の固有振動解析として簡便方程式法、積分方程式法、有限個の算点系で近似する方法、ガラーキン法およびエネルギー法などがあるが、これらからガラーキン法もしくはエトルギー法による解法が採用されし实用に供されている。しかししながら、側径間がある場合や、ケーブルが塔頂で端に固定されている場合、補剛形の支持条件が単純支持ではなく、連続である場合にはガラーキン法などでは変位関数の仮定が困難となるべくからために、その適用には制約がある。そこで本研究では吊橋の固有振動解析に有限要素法の適用を試みたものである。有限要素法による吊橋の固有振動解析の第一段階として吊橋の非連成の鉛直、ねじりおよび水平振動について振動解析を行い、ガラーキン法による解および起振機試験による実測値との比較を報告するものである。

2 解析にあたっての基本的假定

文献(1)、(2)に示されている吊橋の振度理論

と同じであるが、本論で特別に用いられていくべき基本的假定は次のとおりである。

(1)側部の振幅は十分に小さく、ケーブルの変



Geometry and co-ordinate system of a suspension bridge

図-1

位による沿荷重水平張力は死荷重による水平張力に比して小さい。(2)吊橋のハンガーは補剛形の中心に取り付けられており、補剛形の道路曲線による初期曲率は十分に小さく無視できる。したがって、補剛形のねじりと水平変位はそれぞれ独立に生ずる。(3)減衰の影響を無視する。

3 吊橋の振動のエネルギー

3.1 鉛直運動のエネルギー ケーブルのひずみエネルギーE_cは死荷重による初期応力G_C=一定による項と活荷重による付加応力G_Cによる項との和で与えられ、次のようになる。

$$V_c = \frac{Hw}{2} \int_0^L 2 \left(\frac{Hw}{2} U + \frac{1}{2} U'^2 \right) dx + \frac{H_p}{2} \int_0^L \left(Y_c U + \frac{1}{2} U'^2 \right) dx \quad (1)$$

ここに、 Hw ：ケーブルの形状、 U ：ケーブルの鉛直変位、 $'$ は又に掛ける微分を示す。 L ：全径間長、 $H_p = \frac{E_c A_c}{L E} \int_0^L \frac{8f}{L^2} \int_0^x U dx$

ケーブルの筋応力 Y_c が波物線であることおよび高次の微小項を無視すれば、式(1)は次のようになります。

$$V_c = \frac{1}{2} (2Hw) \int_0^L U'^2 dx - H_p \int_0^L U dx \quad (2) \quad \text{ここに、 } Y_c = -\frac{8f}{L^2}$$

上式の第1項はケーブルの形状変化によるもので、第2項はケーブルの弾性変形によるものである。

吊橋のハンガーの伸びは無視することとするので、補剛形の鉛直変位はケーブルのそれと同じく U であり、その曲げによるひずみエネルギーは

$$V_u = \frac{1}{2} E \int_0^L I_w U''^2 dx \quad (4) \quad \text{ここに、 } E : \text{補剛形の弾性係数}, I_w : \text{補剛形の鉛直方向の断面2次モーメント}$$

一方、運動エネルギーは次のようになります。

$$T = \frac{1}{2} \int_0^L (W_t + W_c) \dot{U}^2 dx \quad (5) \quad \text{ここに、 } \ddot{U} : \text{重力の加速度}, W_t, W_c : \text{補剛形およびケーブルの重量} (\text{t/m})$$

3.2 ねじり振動のエネルギー

$$V_\theta = \frac{Hw b^2}{8} \int_0^L \varphi'^2 dx + \frac{E c A_c b}{L E} \frac{b}{8} \left(\frac{8f}{L^2} \int_0^L \varphi dx \right)^2 \quad (6) \quad V_\theta = \frac{E}{2} \int_0^L I_w \varphi'^2 dx + \frac{G}{2} \int_0^L K \varphi'^2 dx \quad (7)$$

$$T = \frac{1}{2} \frac{1}{3} (r^2 W_t + \frac{b^2}{4} W_c) \int_0^L \varphi'^2 dx \quad (8) \quad \text{ここに、 } b : \text{補剛形の幅}, E I_w : \text{曲げねじり剛性}, G K : \text{ねじり剛性}, r : \text{回転半径}, \varphi : \text{ねじり}$$

3.3 水平振動のエネルギー

$$T_U = 2Hw \left(\frac{1}{2} \int_0^L \bar{V}^2 dx + \frac{1}{2} \frac{W_U + W_C}{Hw} \int_0^L \frac{\bar{V}^2}{2g} dx \right) \quad (9)$$

$$T_V = \int_0^L W_U \left(\frac{\bar{V}^2}{2g} dx + \int_0^L W_U \left(\frac{\bar{V}^2}{2g} + \frac{(V - \bar{V})^2}{2A} \right) dx \right) \quad (11)$$

$$T_B = \frac{1}{2} \frac{1}{g} \int_0^L W_U \left(\frac{\bar{V}^2}{2g} dx + \frac{1}{2} \frac{1}{g} \int_0^L W_U \left(\frac{\bar{V}^2}{2g} + \frac{(V - \bar{V})^2}{2A} \right) dx \right) \quad (13)$$

$$T_U, T_V, T_B : ケーブルおよび補剛筋の水平変位に付随する鉛直変位 U_U = \frac{\bar{V}^2}{2g}, U_V = \frac{\bar{V}^2}{2g} + \frac{(V - \bar{V})^2}{2A} \text{ によるエネルギー}$$

$$T_U = \frac{1}{2} \int_0^L I_{\bar{V}} V''^2 dx \quad (10)$$

$$T = \frac{1}{2} \frac{1}{g} \int_0^L W_U \bar{V}^2 dx + \frac{1}{2} \frac{1}{g} \int_0^L W_U \bar{V}^2 dx \quad (12)$$

ここに、 V, \bar{V} : 補剛筋およびケーブルの水平変位、

U_U, U_V : ケーブルおよび補剛筋の水平変位に付随する鉛直変位 $U_U = \frac{\bar{V}^2}{2g}, U_V = \frac{\bar{V}^2}{2g} + \frac{(V - \bar{V})^2}{2A}$ によるエネルギー

4 有限要素法による解法 有限要素法を用いて吊橋の離散化を行つ。1節点の自由度は鉛直振動およびねじり振動の端点2個で、水平振動の端点3個である。本論では鉛直振動についてのみ定式化を述べる。吊橋の要素eについての変位 U_e は次のようく表わされる。 $U_e = \{f_U(s_1, s_2)\}_e^T \{q_U(t_e)\}_e \quad (14)$ ここに、 a : 介軸長、 $s_1 = 1 - \frac{s}{a}$, $s_2 = \frac{s}{a}$, $\{q_U(t_e)\}_e$: 節点変位ベクトル ($= \{u_L \ u'_L \ u_R \ u'_R\}^T$)

式(14)と(11)にて構造全体系の剛性行列および質量行列が次のように求められる。

$$T_U = \frac{1}{2} \sum_{e=1}^E \sum_{i=1}^a E I_{\bar{V}} \{f_U\}_e^T \{q_U(t_e)\}_e^T \{f_U\}_e \{q_U(t_e)\}_e d\bar{x} = \frac{1}{2} \{IR\}^T \{IK_U\} \{IR\}$$

$$T_{U1} = \frac{1}{2} \sum_{e=1}^E \sum_{i=1}^a 2Hw \left(\{f_U\}_e^T \{q_U(t_e)\}_e^T \{f_U\}_e \{q_U(t_e)\}_e \right) d\bar{x} = \frac{1}{2} \{IR\}^T \{IK_U\} \{IR\} \quad (15)$$

$$T_{U2} = \frac{1}{2} \frac{2E_{CAL}}{I_E} \left(\frac{2}{3} \frac{85}{324} \int_0^L W_U dx \right) \left(\frac{2}{3} \frac{85}{324} \int_0^L \frac{W_U}{g} dx \right) \{f_U\}_e^T \{q_U(t_e)\}_e d\bar{x} = \frac{1}{2} \{IR\}^T \{IK_{U2}\} \{IR\}$$

$$T = \frac{1}{2} \sum_{e=1}^E \sum_{i=1}^a \left(\frac{W_U + W_C}{g} \right) \{f_U\}_e^T \{q_U(t_e)\}_e^T \{f_U\}_e \{q_U(t_e)\}_e d\bar{x} = \frac{1}{2} \{IR\}^T \{IM\} \{IR\}$$

式(15)を用いて Hamilton の原理から吊橋全体系の運動エネルギーがえられる。吊橋の固有振動数および固有振動形は通常の行列の固有値問題を用いて求めることができる。

表-1
Natural frequencies of Kannon Bridge

5 数値計算例 すでに振動実験が実施されている閑門大橋を対象に側径間を考慮して吊橋の鉛直およびねじり振動の計算結果を表-1に示す。表において、 FEM は有限要素法による固有振動数を、 Calc. はガラーキン法による解析解を、また、 Exp. は起振機試験による実測値である。表に示すように FEM と Calc. の対応および FEM と Exp. の対応は良好であることが立証される。

水平振動の場合主径間と側径間の間の連成がない

ので単スパンの吊橋である平戸

表-2
Comparisons of Horizontal Vibrations of Hirado Bridge

ト橋の水平振動の固有振動数を

表-2 の TEM (No.1) の欄に示す。表

に示すがガラーキン法による結果が

記載されているが、表に示すよ

No.1 upward distortion of cable is considered

うに FEM (No.2) とガラーキン法の

No.2 upward distortion of cable is not considered

結果の間にほかなりの差がある。特に1次振動が FEM (No.2) の振動数が 30% 程度高い。ガラーキン法を適用する際に用いた運動方程式にケーブルおよび補剛筋の水平変位に付随する鉛直変位がケーブルおよび補剛筋の重量に対して貢献する重力エネルギーの項が含まれていないことによるものと考えられる。これを明らかにするために有限要素法の定式化から対応する重力エネルギーの項を消去して計算した結果を表-2 の FEM (No.2) の欄に示す。ガラーキン法との対応は FEM (No.1) よりもはるかに良好になることが確認される。なお、水平振動はこれまで観測された例がなく、線形の第一近似程度の意味を持つものである。解の収束性および固有振動特性は講義時に表記の予定である。

参考文献 1) 平戸：鋼橋(II)，技報堂，昭和42年，2) 高橋・室井 平野：土木学会論文報告集，第247号，

1978.9, 3) Abdel-Ghaffar, A M: Proc ASCE, Vol 104, No ST3, 1978, 4) 日本道路公団：閑門橋工事報告書

第5編, 土木学会, pp 1100 ~ 1112, 昭和53年